

## بهبود عملکرد بویلرهای پالایشگاه چهارم مجتمع

### گاز پارس جنوبی به کمک تحلیل انرژی و اگزرزی

در مقاله حاضر بهبود عملکرد بویلرهای پالایشگاه چهارم مجتمع گاز پارس جنوبی با استفاده از آنالیز انرژی و اگزرزی مورد بررسی قرار گرفته است. پس از مدل سازی، عوامل محیطی موثر در کارایی بویلرهای پالایشگاه از جمله تغییرات دمای محیط، رطوبت نسبی هوا، درصد هوای اضافی و پیش گرمایش آب تغذیه مورد بررسی قرار گرفته است. براساس نتایج بدست آمده راندمان حرارتی و راندمان اگزرزی بویلر در شرایط عملیاتی پالایشگاه چهارم (دما محیط  $25^{\circ}\text{C}$ ، رطوبت نسبی ۷۰٪ هوا و درصد هوای اضافی ۳۵٪)، به ترتیب  $75/71$  و  $39/64$ ٪ می باشد. همچنین با تنظیم درصد هوای اضافی در محفظه احتراق بویلر راندمان اگزرزی بویلر می تواند تا  $41/46$ ٪ افزایش پیدا کند.

سجاد کوچکی نیا<sup>۱</sup>

دانشجوی کارشناسی ارشد

مهدي ديими دشت بياض<sup>۲</sup>

استادیار

عباس گلناري اردكاني<sup>۳</sup>

دانشجوی کارشناسی ارشد

واژه های راهنمای: بهینه سازی، بویلر، آنالیز اگزرزی، راندمان، مجتمع گاز پارس جنوبی

### ۱- مقدمه

امروزه مصرف بهینه انرژی یکی از مهمترین دغدغه های بشری است. تلاش برای شناسایی و بررسی منابع هدر رفت انرژی در حوزه های مختلف صنعت به منظور بهینه سازی آنها، از اهمیت خاصی برخوردار است. در این بین بویلرهای از جمله تجهیزاتی هستند که برای تولید بخار بطور گستردگی مورد استفاده قرار می گیرند. با توجه به هزینه بر بودن تولید بخار و ارزش اقتصادی آن، بهینه سازی و بررسی عملکرد بویلرهای از اهمیت ویژه ای برخوردار می باشد. شبیه سازی عددی بویلرهای براساس قوانین ترمودینامیک یکی از روش های موثر در تحلیل عملکرد آنها می باشد، بطوریکه به کمک قوانین اول و دوم ترمودینامیک امکان محاسبه راندمان انرژی و اگزرزی بویلرهای فراهم می گردد. تحقیقات گستردگی ای در خصوص تحلیل انرژی و اگزرزی بویلرهای انجام شده است. در یک تحقیق کانگ و همکاران [۱] فرآیند احتراق در بویلر را بررسی و روش های بهبود عملکرد آن را مورد مطالعه قرار داده اند.

<sup>۱</sup> دانشجوی کارشناسی ارشد، دانشکده مهندسی مکانیک، دانشگاه حکیم سبزواری، سبزوار sajad.koochakinia@gmail.com

<sup>۲</sup> نویسنده مسئول، استادیار، دانشکده مهندسی مکانیک، دانشگاه حکیم سبزواری، سبزوار m.deimi@hsu.ac.ir

<sup>۳</sup> کارشناسی ارشد مهندسی شیمی، شرکت مجتمع گاز پارس جنوبی، عسلویه abbas\_golnari@yahoo.com

تاریخ دریافت: ۹۶/۱۰/۰۳/۲۷، تاریخ پذیرش: ۹۶/۱۰/۰۵

براساس نتایج بدست آمده شرایط محفظه احتراق، دمای دودکش و گازهای خروجی از آن تاثیر بسزایی بر راندمان احتراق بویلر دارد. همچنین بر اساس تحقیقات ایشان در میان روش‌های اصلاح احتراق با استفاده از تجزیه و تحلیل اگزرژی، پارامتر تنظیم هوای اضافی موثرترین روش برای بهبود احتراق بویلرها معرفی شد.

همچنین سایدرو و همکاران [۲] به بررسی و تحلیل انرژی و اگزرژی قسمت‌های مختلف بویلر پرداختند. بر اساس تحقیقات ایشان راندمان انرژی و اگزرژی در سیکل مورد بررسی ایشان ۷۲/۴۶٪ و ۲۴/۸۹٪ محاسبه گردید. همچنین بر اساس نتایج بدست آمده در این تحقیق مشخص گردید که محفظه احتراق<sup>۱</sup> و مبدل حرارتی عوامل اصلی تخریب اگزرژی می‌باشد. عارف دهقانی و همکارش [۳] به تحلیل و تجزیه بویلرهای نیروگاه تبریز از نظر انرژی و اگزرژی پرداختند. براساس تحقیقات ایشان راندمان انرژی بر اساس پایین‌ترین و بالاترین ارزش حرارتی سوخت به ترتیب ۹۱/۵۴٪ و ۸۶/۱۷٪ و راندمان اگزرژی ۴۳/۹۸٪ برای بویلر محاسبه گردید.

در تحقیقی دیگر دیب و همکاران [۴] به بررسی و تحلیل اگزرژی برای نیروگاه‌های بخار و تولید همزمان پرداختند. در نتایج ایشان افت کارایی این نیروگاه‌ها در نتیجه بازگشت ناپذیری‌های فرآیند انتقال حرارت و احتراق در بویلر مورد بررسی قرار گرفت. همچنین پارامترهای موثر در کاهش نابودی اگزرژی در بویلر از هوای اضافی، پیش گرم کردن هوای ورودی و گازهای برگشتی به بویلر مطالعه گردید. از سوی دیگر الجوندی [۵] به تحلیل انرژی و اگزرژی یک نیروگاه سیکل بخار در اردن پرداخت. براساس نتایج ایشان، به علت فرآیند شیمیایی احتراق، در میان تجهیزات موجود بویلر به عنوان جزئی که بیشترین تخریب اگزرژی را دارد معرفی گردید. برای کاهش این تخریب، پیش گرم کردن هوای مورد نیاز برای احتراق و کاهش نسبت هوا به سوخت پیشنهاد شده است. راسن [۶] به تحلیل انرژی و اگزرژی جریان هوای مورد نیاز برای احتراق در نیروگاه سیکل بخار پرداخت. او به این نتیجه رسید که موثرترین جزء در تخریب اگزرژی در یک سیکل بخار، بویلر است. همچنین عامل اصلی در افزایش بویلر را پارامتر هوای اضافی معرفی کرد و با تغییرات درصد هوای اضافی افزایش قابل توجهی در راندمان بویلر ایجاد نمود. کوپک [۷] به تجزیه و تحلیل انرژی و اگزرژی نیروگاه حرارتی کاتالاقفری در ترکیه با هدف بررسی تأثیر دمای محیط بر نرخ برگشت ناپذیری و راندمان اگزرژی اجزای نیروگاه پرداخت. حبیب و همکاران [۸] تحلیل اگزرژی را برای یک نیروگاه سیکل بخار انجام دادند و به شناسایی تخریب‌های اگزرژی در این نیروگاه پرداختند. عامل اصلی تخریب اگزرژی را بویلر معرفی نمودند. براساس نتایج ایشان، پارامترهای تاثیر گذار در تخریب اگزرژی بویلر، درصد هوای اضافی و دمای دودکش می‌باشد.

روسن و تانگ [۹] به بررسی پارامتر هوای اضافی ورودی به بویلر و تاثیر آن بر بازگشت ناپذیری‌ها و میزان اگزرژی آن پرداختند. فرانکو و روس [۱۰]، به کمک تحلیل اگزرژی به بهینه سازی بویلر بازیاب پرداختند. ایشان با استفاده از تابع هدف ترمواکونومیک<sup>۲</sup> برای بویلر بازیاب، به بهینه سازی فنی و اقتصادی آن پرداختند و توانستند که راندمان کل سیکل را به نزدیک ۶۰٪ برسانند.

علی بلاترک و همکاران [۱۱]، آنالیز اگزرژی و ترمواکونومیک نیروگاه حرارتی چاییزخان ترکیه را مورد بررسی قرار دادند. آنها با کمک خواص ترمودینامیکی نقاط مختلف نیروگاه حرارتی و با کمک نرم افزار EES راندمان حرارتی و اگزرژی نیروگاه را بدست آورندند.

<sup>۱</sup> Combustion chamber

<sup>۲</sup> Thermo-economic

امندرای کومارسینگ [۱۲]، علت اصلی برگشت ناپذیری در بویلرها را واکنش شیمیایی بین سوخت و هوا معرفی کرد. کاهش درصد هوای اضافی در محفظه احتراق بویلر و کاهش دمای گاز خروجی دودکش را عامل تاثیرگذار در اگزرزی محفظه احتراق بویلر معرفی نمود. همچنین بویلر را به ۴ قسمت مجزا تقسیم نمود و هر قسمت را مورد بررسی و تحلیل قرار نمود.

در این تحقیق به بهبود عملکرد بویلرهای واحد ۱۲۱ پالایشگاه چهارم مجتمع گاز پارس جنوبی با استفاده از تحلیل انرژی و اگزرزی پرداخته می‌شود. تحلیل ترمودینامیکی براساس اطلاعات ثبت شده از بویلرها انجام می‌گیرد. به کمک شبیه سازی ترمودینامیکی می‌توان تاثیر عواملی همچون دمای محیط، رطوبت نسبی هوا، درصد هوای اضافی وارد شده به محفظه احتراق و دمای آب تغذیه بویلر<sup>۱</sup> را مورد بررسی قرار داد. همچنین در نهایت با محاسبه راندمان حرارتی بویلر، اگزرزی محفظه احتراق و راندمان اگزرزی بویلر می‌توان پیشنهادهای عملی با هدف بهینه سازی عملکرد بویلرها ارائه نمود.

## ۲- مشخصات پالایشگاه چهارم مجتمع گاز پارس جنوبی

### ۲-۱- طرحواره بویلرهای پالایشگاه چهارم

میدان گازی پارس جنوبی به عنوان بزرگترین پالایشگاه گازی خاورمیانه می‌باشد. مساحت این میدان ۹۷۰۰ کیلومتر مربع است که ۳۷۰۰ کیلومتر مربع آن در آب‌های ایران، شامل ۸ درصد از ذخایر گازی جهان و ۶۰۰۰ کیلومتر مربع آن در آب‌های قطر شامل ۲۱ درصد از ذخایر گاز دنیا می‌باشد. واحد ۱۲۱ آب، برق و بخار<sup>۲</sup> پالایشگاه چهارم پارس جنوبی دارای ۵ عدد بویلر (A,B,C,D,E) می‌باشد. شکل (۱) تصویری از بویلرهای پالایشگاه و شکل (۲) طرحواره ای از محفظه احتراق بویلرهای مجتمع می‌باشد، که در زیر آورده شده است:

### ۲-۲- مشخصات بویلرهای پالایشگاه چهارم

بویلرهای پالایشگاه از نوع واترتیوب<sup>۳</sup> بوده اند. بویلرهای واترتیوب یا همان دیگ لوله آبی از انواع بویلرهای فولادی است که برای کار در فشارهای بالا ساخته می‌شوند. در این نوع از بویلر، آب در درون لوله‌ها در جریان است و آتش مستقیم به لوله‌ها برخورد می‌کند. این بویلرها تا فشارهایی بالاتر از ۱۰۰ بار نیز ساخته می‌شوند. همچنین لازم به ذکر است سوخت مصرفی همه بویلرها گاز طبیعی می‌باشد.

شرایط عملیاتی بویلر در جدول (۱) ارائه شده است. با توجه به گزارش پالایشگاه، آنالیز اجزای گاز طبیعی (خوارک بویلرها) و هوای مصرفی در جدول‌های (۲) و (۳) آورده شده است.

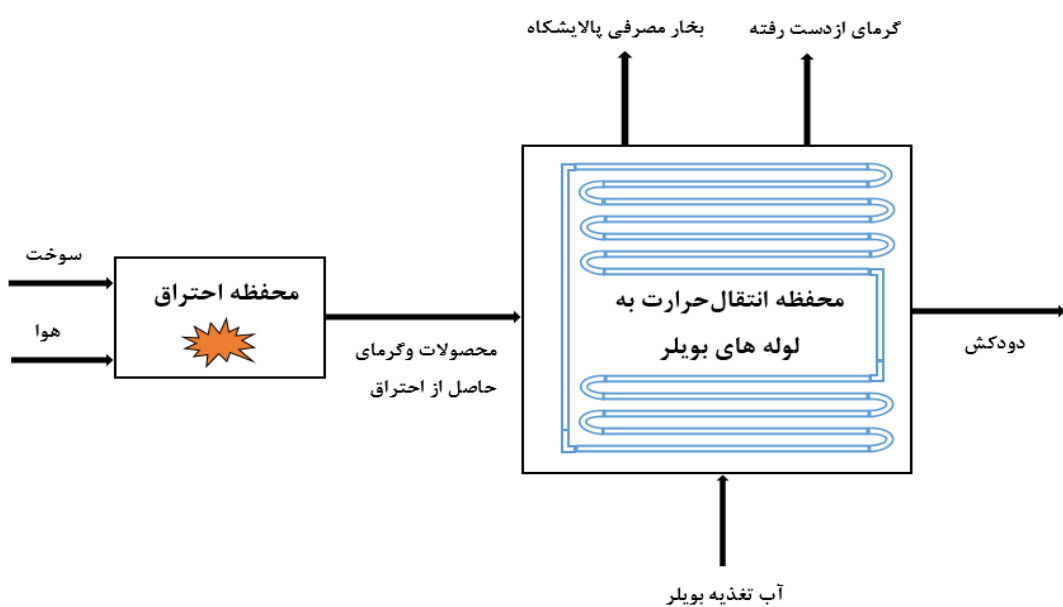
<sup>1</sup> Boiler Feed Water

<sup>2</sup> Utility

<sup>3</sup> Water tube



شکل ۱- بویلرهای پالایشگاه چهارم مجتمع گاز پارس جنوبی



شکل ۲- طرحواره<sup>۱</sup> قسمت محفظه احتراق و انتقال حرارت بویلر و قسمت های مختلف بویلر

<sup>۱</sup>Schematic

**جدول ۱- مشخصات بویلر A**

مقدار	مشخصه
۱۶۵	( $t \cdot h^{-1}$ ) دبی
۳۹۰	( $^{\circ}c$ ) دما
۴۶	( $b \arg$ ) فشار
۱۲۸	( $^{\circ}c$ ) دمای آب تعذیه بویلر
۵	( $t \cdot h^{-1}$ ) دبی سوخت بویلر
۲۷۵	( $^{\circ}c$ ) دمای گازهای خروجی احتراق (دودکش)
۴۵۳۰۰	( $kj \cdot kg^{-1}$ ) ارزش حرارتی پایین سوخت مصرفی

**جدول ۲- درصد مولی اجزای هوا در شرایط ( $\phi_{RH}=70\%$  و  $P=1atm$ )**

عنصر	درصد مولی
اکسیژن ( $O_2$ )	۰/۲۰۹۵
نیتروژن ( $N_2$ )	۰/۷۸۰۸
آب ( $H_2O$ )	۰/۰۰۰۰۷
دی اکسید کربن ( $CO_2$ )	۰/۰۰۰۳۳
بقیه اجزا	۰/۰۰۹۳

**جدول ۳- درصد مولی اجزای گاز طبیعی (سوخت) بویلرهای**

جز	(%) درصد مولی
متان ( $CH_4$ )	۹۲/۷۲۲۸
اتان ( $C_2H_6$ )	۱/۵۷۳۲
پروپان ( $C_3H_8$ )	۰/۴۰۶۶
- بوتان ( $C_4H_{10}$ )	۰/۲۲۵۵
- پنتان ( $C_5H_{12}$ )	۰/۰۰۱۸
کربن دی اکسید ( $CO_2$ )	۱/۴۰۳۱
نیتروژن ( $N_2$ )	۲/۴۳۲۱
بقیه اجزا	۰/۲۳۴۹
کل	۱۰۰

### ۳- روش حل و معادلات حاکم مساله

برای تولید بخار مصرفی پالایشگاه، در بویلرهای سه فرآیند مهم و اساسی انجام می‌گیرد که عبارت اند از:

الف) فرآیند آدیاباتیک<sup>۱</sup> احتراق

ب) فرآیند انتقال حرارت به بخار

ج) مرحله خروج گازها (دودکش)

بنابراین تلفات داخلی اگزرزی بویلر مجموع تلفات اگزرزی احتراق، انتقال حرارت و دودکش می‌باشد.

اگزرزی، قابلیت انجام کار تا رسیدن به تعادل با محیط (منبع حرارتی) تعریف می‌شود.<sup>[۱۳]</sup> بدین ترتیب پس از رسیدن به تعادل با محیط، محتوی اگزرزی صفر خواهد شد. برخلاف انرژی که از بین نمی‌رود و تنها از نوعی به نوع دیگر تبدیل می‌شود (قانون اول ترمودینامیک)، اگزرزی به واسطه بازگشت ناپذیری های حین یک فرآیند، از بین می‌رود. این هدرفت با افزایش انتروپی سیستم و محیط مناسب است و می‌توان مقدار آن را با در نظر گرفتن قانون بقای جرم رابطه (۱)، قانون اول ترمودینامیک رابطه (۲) و ترکیب آن با قانون دوم ترمودینامیک رابطه (۳) به دست آورد.

$$\sum \dot{m}_i = \sum \dot{m}_e \quad (1)$$

که در آن  $\dot{m}$  دبی جرمی است و اندیس های  $i$  و  $e$  به ترتیب برای جریان های ورودی و خروجی به کار می‌روند.

$$\frac{dE}{dt} \Big|_{c.v} = \dot{Q}_{c.v} - \dot{W}_{c.v} + \sum \dot{m}_i h_i - \sum \dot{m}_e h_e \quad (2)$$

در رابطه (۲)،  $\dot{Q}$  و  $\dot{W}$  به ترتیب نرخ حرارت داده شده به حجم کنترل و نرخ کار صورت گرفته توسط آن است.  $E$  محتوی انرژی آن و  $h$  آنتالپی بر واحد جرم جریان است.

$$\frac{dS}{dt} \Big|_{c.v} = \sum \frac{\dot{Q}_i}{T_i} + \sum \dot{m}_i s_i - \sum \dot{m}_e s_e + \dot{S}_{gen} \quad (3)$$

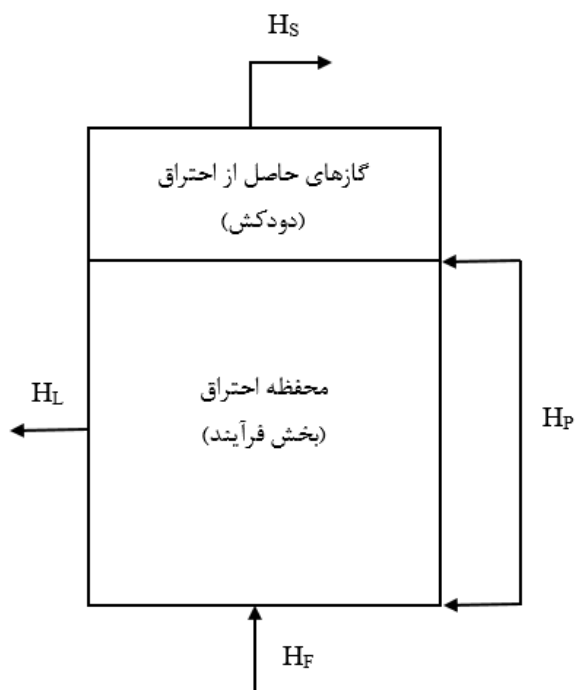
در رابطه (۳) که قانون دوم ترمودینامیک است، نرخ تغییرات آنتروپی حجم کنترل ( $S$ )، بر اساس اختلاف آنتروپی ورودی و خروجی توسط جریان و آنتروپی های تولیدشده بر اثر برگشت ناپذیر ( $\dot{S}_{gen}$ ) و در اثر انتقال حرارت با منابع گرمایی مختلف ( $\dot{Q}$ ) با دماهای متفاوت  $T_i$  بیان می‌شود. با ترکیب قانون اول و دوم ترمودینامیک برای یک حجم کنترل، رابطه (۴) خواهیم داشت.<sup>[۱۴]</sup>

$$\frac{d\Phi}{dt} \Big|_{c.v} = \sum \left( 1 - \frac{T_0}{T} \right) \dot{Q}_{c.v} - \dot{W}_{c.v} + \sum \dot{m}_i \psi_i - \sum \dot{m}_e \psi_e - \dot{I} \quad (4)$$

که در آن  $\Phi$  اگزرزی کل سیستم،  $\dot{I}$  برگشت ناپذیری است که بیانگر اختلاف کار برگشت پذیر و کار واقعی است.  $\psi$  اگزرزی جریانی بر واحد جرم است که طبق رابطه (۵) تعریف می‌شود.<sup>[۱۴]</sup>

$$\psi = (h - h_0) - T_0 (s - s_0) \quad (5)$$

<sup>۱</sup> Adiabatic



شکل ۳ - حجم معیار بویلر

### ۱-۳- موازنه انرژی حرارتی

برای بررسی عملکرد و انجام موازنه انرژی، بویلر به صورت یک حجم معیار در نظر گرفته میشود. مواردی که برای موازنه انرژی بویلرها باید مشخص شوند، عبارتند از:

- الف) درصد ترکیبات سوخت ارزش حرارتی پایین<sup>۱</sup> سوخت
- ب) درصد اتلاف از بدنه بویلر نسبت به کل انرژی حرارتی آزاد شده
- ج) درصد هوای اضافی جهت انجام کامل فرایند
- د) دمای گازهای احتراق خروجی از دودکش

اگر بویلر به صورت یک حجم معیار همانند شکل شماره (۳) در نظر گرفته شود، می توان موازنه انرژی را به صورت زیر نوشت:

$$H_F = H_P + H_L + H_S \quad (6)$$

پس از ساده سازی، رابطه (۶) به صورت زیر نوشته می شود:

$$\left( \frac{H_P}{H_F} + \frac{H_L}{H_F} + \frac{H_S}{H_F} \right) \times 100 = 100\% \quad (7)$$

<sup>۱</sup> Low Heating Value (LHV)

که در این رابطه (۷)،  $\left( \frac{H_L}{H_F} \right) \times 100$  درصد تلفات حرارتی از بویلر و  $\left( \frac{H_P}{H_F} \right) \times 100$  درصد تلفات حرارتی دودکش می باشد. راندمان حرارتی بویلر، با استفاده از نرم افزار EES مشخص نمودن پارامترها بدست می آید.

### ۳-۲- محاسبه درصد تلفات حرارتی از سطح خارجی بویلر

تلفات حرارتی از سطح خارجی بویلر به دو طریق تشعشعی و جابجایی صورت می گیرد. بطور عمدۀ عوامل مؤثر در تلفات حرارتی از سطح خارجی بویلر، عبارتند از:

- الف) دمای جداره خارجی بویلر
- ب) دمای هوای محیط، سرعت باد
- ج) مساحت سطح خارجی بویلر
- د) ضریب صدور تشعشعی سطح خارجی بویلر

برای محاسبه تلفات حرارتی از سطح خارجی بویلر می توان از رابطه تجربی زیر استفاده نمود: [۱۵]

$$H_L' = 0.174 \times \varepsilon (T_s^4 - T_a^4) \times 10^{-8} + 0.296 \times (T_s - T_a)^{1/25} \times \sqrt{\frac{(v_w + 69)}{69}} \quad (8)$$

$$H_L = A \cdot H_L' \quad (9)$$

### ۳-۳- محاسبه درصد تلفات حرارتی از دودکش

تلفات حرارتی از دودکش شامل اتلاف حرارت در اثر رطوبت موجود در سوخت، اتلاف حرارت گاز خشک و اتلاف حرارت در اثر وجود رطوبت در هوای احتراق می باشد. به منظور محاسبه درصد اتلاف حرارتی از دودکش می توان از نمودارهای ارائه شده در مرجع [۱۳] جهت مشخص نمودن انتالپی گازهای خروجی استفاده نمود. میزان درصد اتلافات انرژی حرارتی از دودکش از رابطه زیر محاسبه می گردد:

$$\frac{H_S}{H_F} = \frac{Flue.gas enthalpy}{LHV} \times 100 = \frac{(\dot{m}_{Air} + \dot{m}_{Fuel}) h_{stack}}{\dot{m}_{Fuel} LHV} \times 100 = 0.1219 \quad (10)$$

### ۳-۴- محاسبه راندمان حرارتی بویلر

با مشخص شدن میزان درصد تلفات حرارتی از بدنه دودکش می توان با استفاده از رابطه شماره (۱۱) راندمان حرارتی<sup>۱</sup> بویلر را به دست آورد: [۱۶]

$$\eta_{Boiler} = \left( \frac{H_P}{H_F} \right) \times 100 = \left\{ 1 - \left( \frac{H_L}{H_F} + \frac{H_S}{H_F} \right) \right\} \quad (11)$$

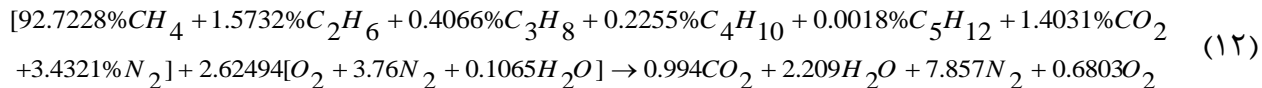
---

<sup>۱</sup> Thermal Efficiency

### ۵-۳-۵- اگزرزی ناشی از احتراق در محفظه احتراق بویلر

احتراق یک سوخت، تبدیل شیمیایی سوخت به محصولات احتراق همراه با آزاد سازی انرژی حرارتی ناشی از آن می باشد. اجزای محترقه یک سوخت گازی یا مایع، مثل کربن، هیدروژن، گوگرد و نیتروژن توسط واکنش های شیمیایی گرمaza با اکسیژن هوا احتراق در می آمیزند. محصولات احتراق شامل گازهای دودکش و باقیمانده های جامد از احتراق سوخت های مایع و جامد می باشند.

گازهای دودکش حاوی ترکیبات آلوده کننده زیان آور مثل اکسیدهای گوگرد، اکسیدهای نیتروژن، منو اکسید کربن، دی اکسید کربن و بخار آب هستند معادلات استوکیومتری تشریح ساده ای از واکنشهای احتراق کامل اجزای قابل احتراق سوخت با اکسیژن را به همراه موازن موارد و واکنش ها بر مبنای مولی یا جرمی ارائه می کنند. برای محاسبه اگزرزی گازهای حاصل از سوخت، ابتدا اگزرزی ترمومکانیکی<sup>۱</sup> و سپس اگزرزی شیمیایی<sup>۲</sup> گازهای حاصل از سوخت به دست می آید. در جدول (۳) اجزای مختلف گاز طبیعی مصرفی پالایشگاه (بویلرهای) ارائه شده است. بالانس معادله سوخت در حالت شرایط هوا اضافی٪ ۳۵ و رطوبت نسبی٪ ۷۰ به صورت زیر می باشد: [۱۷]



برای محاسبه اگزرزی بایستی درصد مولی هریک از اجزای گازهای حاصل از احتراق، محاسبه می گردد. درصد مولی محصولات احتراق را می توان از رابطه (۱۳) بدست آورد.

$$y_x = \frac{n_x}{n_{Total}} \quad (13)$$

طبق رابطه (۱۴) اگزرزی ترمومکانیکی گازهای حاصل از احتراق در دمای دودکش<sup>۳</sup> را می توان بدست آورد: [۱۷]

$$\psi_{Th} = \sum_{i=1}^n y_i \left[ h_{i,T} - h_{i,T_0} - T_0 (s_{i,T}^0 - s_{i,T_0}^0) + RT \ln \frac{P}{P_0} \right] \quad (14)$$

در رابطه (۱۴)،  $y_i$  درصد مولی هریک از اجزای گازهای حاصل از احتراق،  $h_{i,T}$  آنتالپی<sup>۴</sup> هر یک از اجزای گازهای حاصل از احتراق در دمای  $T$ ، و  $h_{i,T_0}$  آنتالپی هر یک از اجزای گازهای حاصل از احتراق در دمای  $T_0$  می باشد. همچنین  $s_{i,T}^0$  آنتروپی<sup>۵</sup> هر یک از اجزای گازهای حاصل از احتراق در دمای  $T$  و  $s_{i,T_0}^0$  آنتروپی هر یک از اجزای گازهای حاصل از احتراق در دمای  $T_0$  می باشد.

اگزرزی شیمیایی گازهای حاصل از احتراق با رابطه زیر تعریف می شود: [۱۸]

<sup>1</sup> Exergy Thermomechanical

<sup>2</sup> Exergy Chemical

<sup>3</sup> Stack

<sup>4</sup> Enthalpy

<sup>5</sup> Entropy

$$\psi_{ch} = RT_0 \sum_{i=1}^n N_t \ln \frac{P_{t,0}}{P_{t,00}} = RT_0 \sum_{i=1}^n N_t \ln \frac{y_{t,0}}{y_{t,00}} \quad (15)$$

همچنین اگررژی کل محفظه احتراق بویلر از مجموع اگررژی ترمومکانیکی و شیمیایی، روابط (۱۴) و (۱۵) محاسبه می‌گردد.

$$\psi_{Total} = \sum_{i=1}^n y_i \left[ h_{i,T} - h_{i,T_0} - T_0 (s_{i,T}^0 - s_{i,T_0}^0) + RT \ln \frac{P}{P_0} + RT \ln \frac{P}{P_0} \right] + RT_0 \sum_{i=1}^n N_t \left( \ln \frac{y_{t,0}}{y_{t,00}} \right) \quad (16)$$

رابطه (۱۶)، اگررژی اتلافی از دودکش و محفظه احتراق بویلر می‌باشد.

طبق رابطه (۱۴) نسبت اتلافات اگررژی گازهای احتراق به اگررژی ورودی سوخت را می‌توان بدست آورد:

$$\frac{\psi_{stack}}{\psi_{ch,f}} = \frac{N_{gas}}{N_{Fuel}} \cdot \frac{\psi_{gas}}{\psi_{ch,f}} \quad (17)$$

### ۳-۶- محاسبه راندمان اگررژی بویلر

راندمان نوع دوم (راندمان اگررژی)<sup>۱</sup> برای بویلر نسبت اختلاف اگررژی جريانی ورودی و خروجی به اگررژی داده شده به سیستم (اگررژی سوخت)، طبق رابطه (۱۸) محاسبه می‌گردد: [۱۵]

$$\eta = \frac{\dot{m}_s (\text{ex}_{out} - \text{ex}_{in})_s}{\dot{m}_{Fuel} \psi_{ch,f} + \dot{m}_{Air} \psi_{Air}} \quad (18)$$

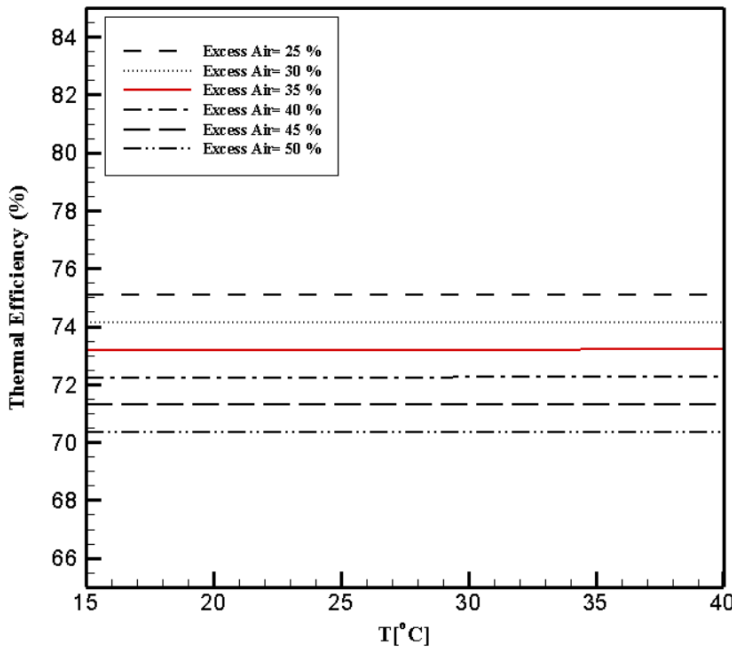
در رابطه (۱۸)، به دلیل اینکه هوای ورودی به محفظه احتراق بویلر پیش گرم نمی‌شود مقدار اگررژی هوای ورودی به محفظه احتراق بویلر برابر صفر خواهد بود.

## ۴- بررسی نتایج

هدف در این مقاله تجزیه و تحلیل انرژی و اگررژی بویلرهای واحد ۱۲۱ پالایشگاه چهارم مجتمع گاز پارس جنوبی با استفاده از داده‌های دریافتی از پالایشگاه می‌باشد. بطور کلی عوامل تاثیرگذار بر روی بویلرهای پالایشگاه عبارتند از: دمای محیط، درصد هوای اضافی وارد شده به محفظه احتراق و دمای آب تغذیه بویلر. همچنین پارامتر تاثیرگذار در راندمان اگررژی بویلر رطوبت نسبی هوا می‌باشد که این پارامتر نیز پس از تاثیرگذاری در واکنش سوخت و هوا در محفظه احتراق و معادله استوکیومتری<sup>۲</sup> سوخت در راندمان اگررژی لحاظ گردیده است. طبق روابط (۶) تا (۱۱)، راندمان حرارتی بویلر به تلفات ناشی از بدنه بویلر و تلفات خروجی از دودکش بویلر وابسته می‌باشد. طبق شکل (۴) نمودار راندمان حرارتی بویلر برای درصد هواهای اضافی مختلف هوا بر حسب دمای محیط آورده شده است. طبق نتایج حاصله با افزایش درصد هوای اضافی وارد به محفظه احتراق، راندمان حرارتی بویلر کاهش می‌یابد.

<sup>1</sup> Exergy Efficiency

<sup>2</sup> Stoichiometric Equation



شکل ۴- نمودار راندمان حرارتی بویلر نسبت به دماهای مختلف محیط در درصد هواهای اضافی مختلف

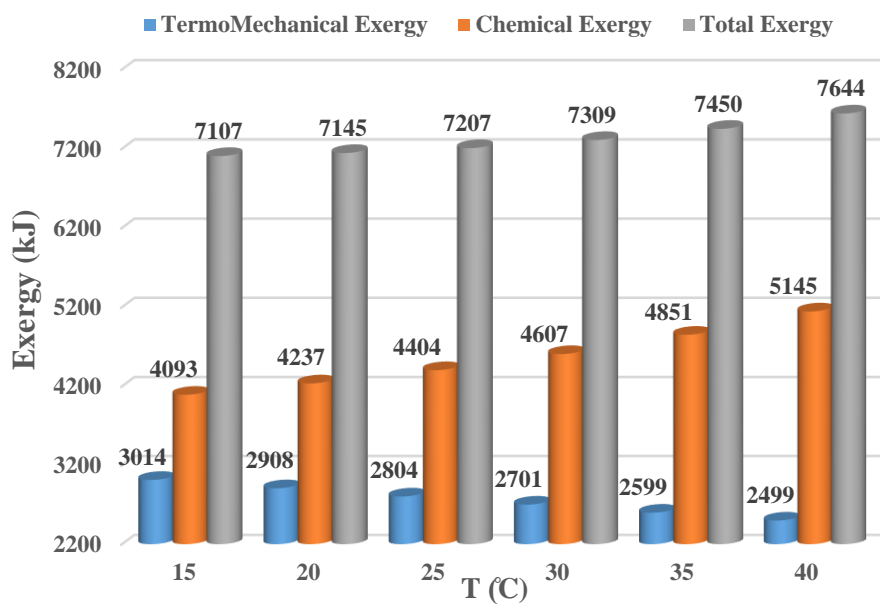
طبق روابط (۱۶) تا (۱۲)، محفظه احتراق بویلر بیشترین سهم اگزرژی در بویلرها را دارد. طبق اطلاعات دریافتی از پالایشگاه چهارم مجتمع گاز پارس جنوبی، بویلرهای پالایشگاه در شرایط هوای اضافی ۳۵٪ و رطوبت نسبی ۷۰٪ با سوخت گاز طبیعی در محفظه احتراق بویلر کار می کنند. اگزرژی محفظه احتراق بویلر از مجموع اگزرژی ترمومکانیکال و اگزرژی شیمیایی حاصل می شود.

شکل (۵) نشان دهنده نتایج بدست آمده از اگزرژی محفظه احتراق بویلر برای دماهای مختلف محیط می باشد. که طبق نتایج بدست آمده با افزایش دمای محیط و تغییر شرایط عملیاتی بویلرهای در پالایشگاه مقدار کل اگزرژی محفظه احتراق بویلر افزایش می یابد. شکل (۶) نتایج اگزرژی محفظه احتراق بویلر در دمای محیط ۲۵°C برای درصد هواهای اضافی مختلف پالایشگاه، را نشان می دهد. در این شکل مشاهده می شود با افزایش درصد هوا اضافی وارد به محفظه احتراق بویلر، اگزرژی محفظه احتراق بویلر کاهش می یابد.

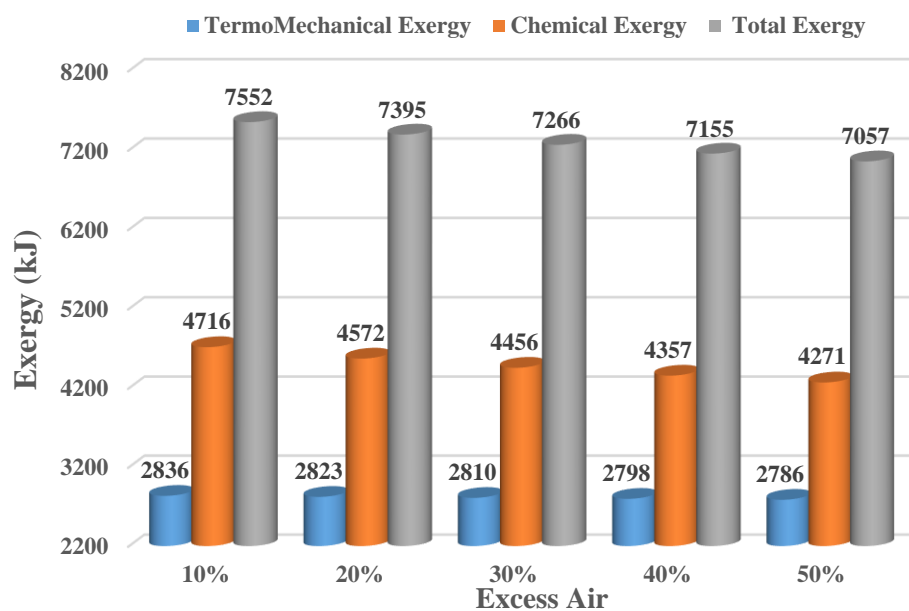
شکل (۷) نتایج اگزرژی محفظه احتراق بویلر بر حسب دماهای مختلف محیط در شرایط عملیاتی رطوبت نسبی های مختلف هوا را نشان می دهد. طبق نتایج بدست آمده با افزایش رطوبت نسبی هوا و افزایش دمای محیط، اگزرژی محفظه احتراق بویلر افزایش پیدا می کند.

شکل (۸) نتایج کل اگزرژی محفظه احتراق بویلر بر حسب دماهای مختلف محیط در شرایط عملیاتی درصد هواهای اضافی مختلف وارد شده در محفظه احتراق را نشان می دهد. طبق نتایج بدست آمده با کاهش درصد هوای اضافی وارد شده به محفظه احتراق بویلر و افزایش دمای محیط، اگزرژی محفظه احتراق بویلر افزایش پیدا می کند. نسبت اتلافات اگزرژی گازهای احتراق به اگزرژی ورودی سوخت بویلرها، در شرایط رطوبت نسبی های مختلف هوا و دماهای مختلف محیط، طبق شکل (۹) ارائه شده است.

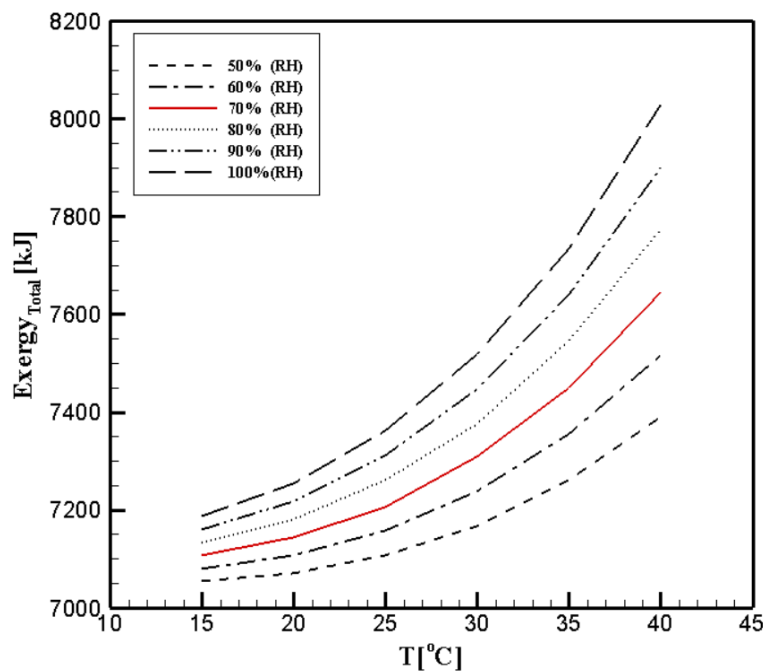
براساس شکل (۹) با افزایش رطوبت نسبی هوا و افزایش دمای محیط، نسبت اتلافات اگزرژی گازهای احتراق به اگزرژی ورودی سوخت بویلرها افزایش می یابد.



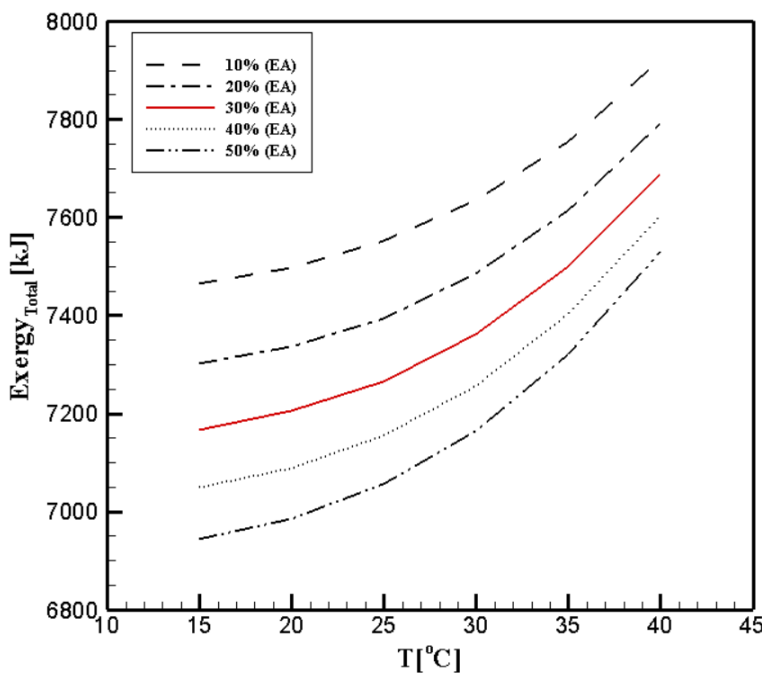
شکل ۵- نمودار اگرزی محفوظه احتراق بویلر نسبت به دماهای مختلف محیط



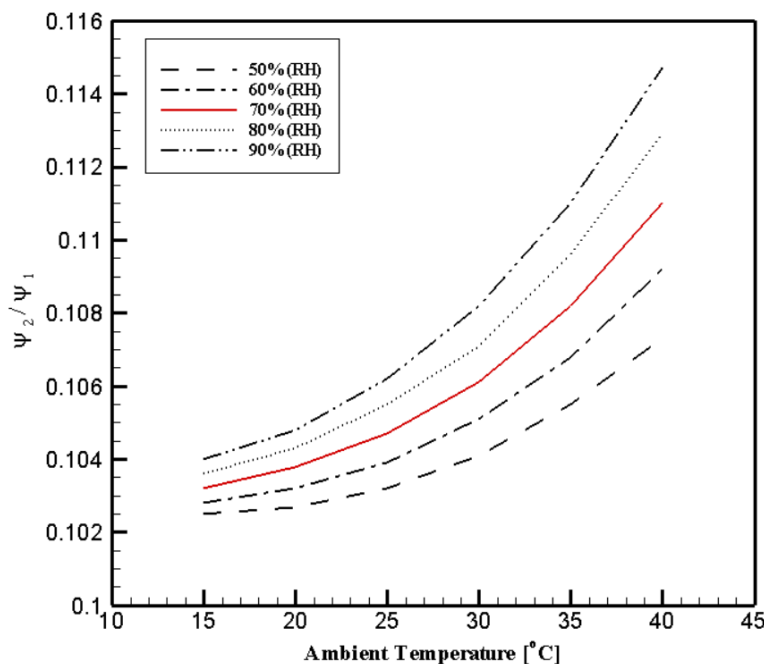
شکل ۶- نمودار اگرزی محفوظه احتراق بویلر نسبت به درصد هواهای اضافی



شکل ۷- نمودار اگررژی محفظه احتراق بر حسب دماهای مختلف محیط در رطوبت نسبی های مختلف هوای

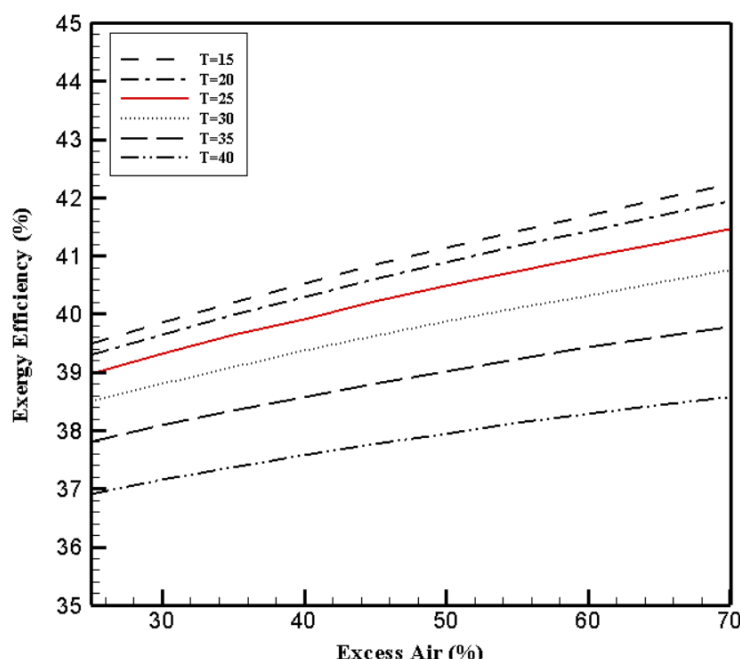


شکل ۸- نمودار اگررژی محفظه احتراق نسبت به دمای محیط در درصد هوای اضافی وارد شده به محفظه احتراق



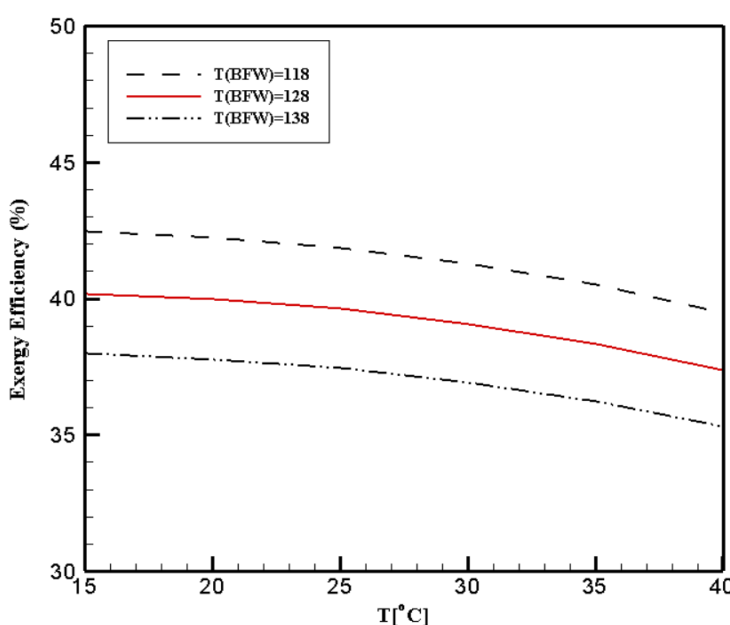
شکل ۹- نمودار نسبت اتلافات اگزرزی گازهای احتراق ( $\Psi_2$ ) به اگزرزی ورودی سوخت ( $\Psi_1$ )

طبق رابطه (۱۸)، عامل اصلی و تاثیر گذار در راندمان اگزرزی بویلر، اگزرزی محفظه احتراق و اگزرزی بخار تولیدی حاصل از آب تغذیه بویلر می باشد. راندمان اگزرزی بویلر نسبت به درصد هوای اضافی در دماهای مختلف محیط طبق شکل (۱۰) نشان داده شده است. طبق نتایج بدست آمده با افزایش درصد هوای اضافی وارد شده به محفظه احتراق بویلر برای دماهای مختلف محیط، راندمان اگزرزی افزایش می یابد. طبق رابطه (۱۸)، یکی از عوامل تاثیرگذار در راندمان اگزرزی بویلر دمای آب تغذیه می باشد.

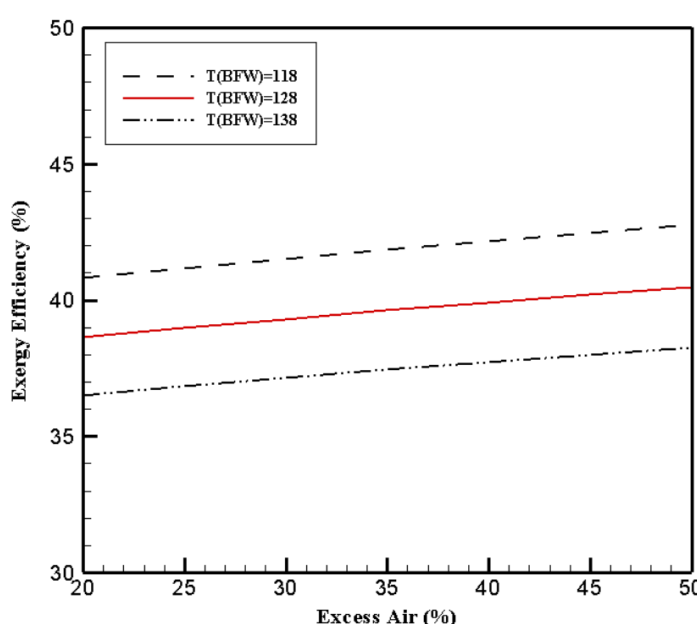


شکل ۱۰- نمودار راندمان اگزرزی بویلر نسبت به درصد هوای اضافی برای دماهای مختلف محیط

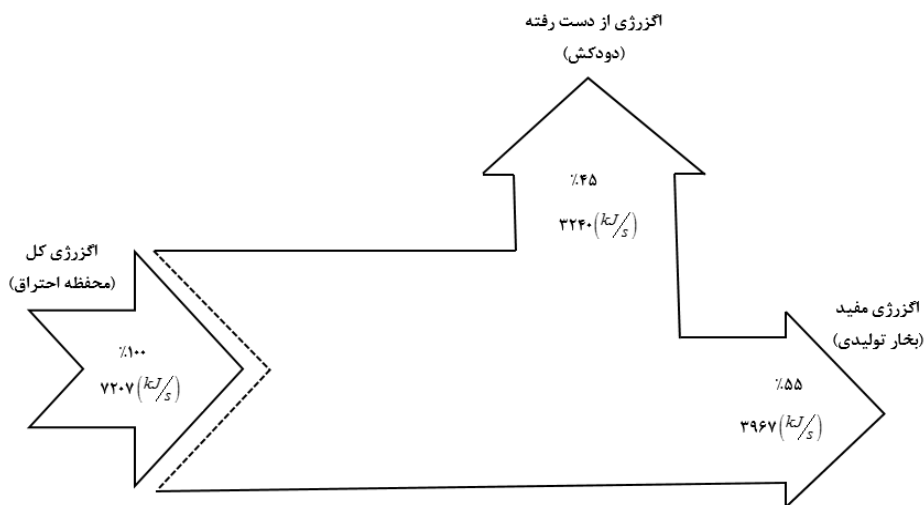
طبق شکل (۱۱) راندمان اگزرزی بویلر نسبت به دماهای مختلف محیط برای دماهای ( $118^{\circ}\text{C}$ ,  $128^{\circ}\text{C}$ ,  $138^{\circ}\text{C}$ ) آب تغذیه بویلر، که شرایط استفاده کنونی پالایشگاه دمای  $128^{\circ}\text{C}$  می باشد، را نشان می دهد. طبق نتایج بدست آمده راندمان اگزرزی با افزایش دماهای مختلف محیط برای دماهای مختلف آب تغذیه بویلر کاهش پیدا می کند. شکل (۱۲) راندمان اگزرزی بویلر نسبت به درصد هوای اضافی واردہ به محفظه احتراق برای دماهای ( $118^{\circ}\text{C}$ ,  $128^{\circ}\text{C}$ ,  $138^{\circ}\text{C}$ ) آب تغذیه بویلر را نمایش می دهد. لازم به ذکر است شرایط استفاده کنونی پالایشگاه دمای  $128^{\circ}\text{C}$  است. طبق نتایج بدست آمده راندمان اگزرزی با افزایش درصد هوای اضافی مختلف برای دماهای مختلف آب تغذیه بویلر افزایش پیدا می کند.



شکل ۱۱- نمودار راندمان اگزرزی نسبت به دمای محیط برای ۳ دمای مختلف آب تغذیه بویلر



شکل ۱۲- نمودار راندمان اگزرزی نسبت به درصد هوای اضافی برای ۳ دمای مختلف آب تغذیه بویلر



شکل ۱۳- نمودار گراسمن جریان اگررژی در محفظه احتراق بویلر

شکل (۱۳) اگررژی محفظه احتراق بویلر بصورت نمودار گراسمن<sup>۱</sup> نشان داده شده است. نمودارهای گراسمن معمولاً به عنوان (نمودارهای اگررژی) نامیده می‌شوند و نشان دهنده جریان‌های اگررژی موجود در سیستم می‌باشد. طبق نتایج، درصد اگررژی بخار تولیدی و درصد اگررژی تلف شده دودکش بصورت تفکیک شده در نمودار گراسمن ارائه شده است.

## ۵- نتیجه‌گیری و جمع‌بندی

در این مقاله به بررسی تحلیل انرژی و اگررژی بویلرهای واحد ۱۲۱ پالایشگاه چهارم مجتمع گاز پارس جنوبی پرداخته شده است. بر اساس نتایج بدست آمده، بخش عمده انرژی در پالایشگاه چهارم را بویلرهای این واحد تشکیل می‌دهند.

همانطور که در مباحث قبل به آن اشاره گردید اتفاق انرژی در بویلرهای پالایشگاهی ناشی از عوامل متعددی می‌باشد، درصد هوای اضافی، آب تغذیه مصرفی، رطوبت نسبی هوا و دمای هوای محیط مهمترین و اساسی ترین پارامترهای تاثیرگذار در کاهش مصرف انرژی بویلرها و بالا بردن راندمان بویلرها می‌باشند.

► یکی از مهمترین عوامل تاثیرگذار، میزان درصد هوای اضافی به محفظه احتراق بویلرها می‌باشد. طی بررسی انجام گرفته از آنالیز گازهای خروجی از بویلرهای واحد پالایشگاه‌ها و نیروگاه‌های کشور در اکثر موارد اشکالاتی در سیستم تنظیم نسبت سوخت به هوا مشاهده گردیده است. نتایج نشان می‌دهد با تنظیم درصد هوای اضافی در محفظه احتراق بویلر پالایشگاه چهارم گاز پارس جنوبی راندمان اگررژی بویلر می‌تواند تا ۴۶/۴۱٪ افزایش پیدا کند.

► راندمان حرارتی بویلر در شرایط عملیاتی پالایشگاه چهارم (دماهی محیط  $25^{\circ}\text{C}$ ) با درصد هوای اضافی ۳۵٪ و رطوبت نسبی ۷۰٪ (هوا) ۷۸/۷۵٪ بدست آورده شده است.

<sup>1</sup> Grassmann

- راندمان اگزرسی بویلر در شرایط عملیاتی پالایشگاه چهارم (دماي محیط  $25^{\circ}C$  با درصد هوای اضافی ۳۵٪ و رطوبت نسبی ۷۰٪ هوا) ۳۹/۶۴٪ بدست آورده شده است.
- یکی از عوامل تاثیرگذار در اگزرسی محفظه احتراق بویلر رطوبت نسبی هوا می باشد. طبق نتایج با افزایش رطوبت نسبی هوا و افزایش دماي محیط اگزرسی محفظه احتراق بویلر از مقدار ۷۱۰ کیلوژول به مقدار ۷۶۴۴ کیلوژول افزایش پیدا كرده است.

### سپاسگزاری

پژوهش حاضر با حمایت مالی شرکت مجتمع گاز پارس جنوبی انجام گرفته است. لذا از کلیه زحمات و پشتیبانی مسئولین آن شرکت کمال تشکر را داریم.

### مراجع

- [1] Kang, Y., and Wong, V. K. F., "Boiler Combustion Performance Comparing Different Fuels", Energy Systems Division (ASME), Vol. 33, No. 8, pp. 7-14, (1994).
- [2] Saidur, R., Ahamed, J.U., and Masjuki, H.H., "Energy, Exergy and Economic Analysis of Industrial Boilers", Energy Policy, Vol. 38, No. 5, pp. 2188-2197, (2010).
- [3] Arefdehgani, S., and Karimi Sadaghiyani, O., "Boiler Parametric Study of Thermal Power Plant to Approach to Low Irreversibility", American Journal of Energy Engineering, Vol. 3, No. 4, pp. 57-65, (2015).
- [4] Alasfour, F.N., and Alajmi, H.F., "Exergetic Destructions in Steam Generation System: Azzour Plant", Int. J. Exergy, Vol. 4, No. 3, pp. 271-285, (2007).
- [5] Aljundi, I. H., "Energy and Exergy Analysis of a Steam Power Plant in Jordan", Applied Thermal Engineering, Vol. 29, No. 3, pp. 324-328, (2008).
- [6] Rosen, M.A., and Tang, R., "Effect of Altering Combustion Air Flow on a Steam Power Plant: Energy and Exergy Analysis", Int. J. of Energy Research, Vol. 31, No. 9, pp. 219-231, (2006).
- [7] Kopac, M., and Hilalci, A., "Effect of Ambient Temperature on the Efficiency of the Regenerative and Reheat Catalagzi Power Plant in Turkey", Applied Thermal Engineering, Vol. 27, pp. 1377-1385, (2007).
- [8] Habib, M. A., and AL-Bagawi, S., "Thermodynamic Performance Analysis of the Ghazlan Power Plant", Energy, Vol. 20, No. 11, pp. 1121-1130, (1995).
- [9] Rosen, M.A., and Tang, R., "Assessing and Improving the Efficiencies of a Steam Power Plant using Exergy Analysis", Int. J. Exergy, Vol. 3, No. 4, pp. 362-390, (2006).

- [10] Franco, A., and Russo, A., "Combined Cycle Plant Efficiency Increase Based on the Optimization of the Heat Recovery Steam Generator Operating Parameter", Int. J. of Thermal Sciences, Vol. 41, No. 9, pp. 843-859, (2002).
- [11] Bolatturk, A., Coskun, A., and Geredelioglu, C., "Thermodynamic and Exergoeconomic Analysis of Çayırhan Thermal Power Plant", Energy Conversion and Management, Vol. 101, pp. 371-378, (2015).
- [12] Singh, O. K., "Assessment of Thermodynamic Irreversibility in Different Zones of a Heavy Fuel Oil Fired High Pressure Boiler", Journal of Thermal Analysis and Calorimetry, Vol. 123, No. 1, pp. 829-840, (2016).
- [13] Cengel, Y. A., Boles, and Michael, A., "*Thermodynamics an Engineering Approach*", 6th Ed, McGraw-Hill, (2008).
- [14] Sonntag, R.E., Borgnakke, C., and Van Wylen, G.J., "*Fundamentals of Thermodynamics*", John Wiley & Sons, Inc, New York, USA, (1997).
- [15] "Steam Generation", Internet Site: www.oit.doe. Gov / bestpractiec / steam /generative. shtml.
- [16] Aroa, V., "Cheek Fired Heater Performance", Hyd Proc Jour, Vol. 64, No. 5, pp. 85-87, (1985).
- [17] Norio, S., "*Chimical Energy and Exergy* ", Elsevier, Chapter 8, 9, 10, 11, Sapporo, Japan, (2001).
- [18] Wiley, J., "*Advanced Thermodynamics for Engineer*", Desmond Winter Bone, pp. 36-40, (2003).

## فهرست نمادهای انگلیسی

مساحت سطح خارجی بویلر	$A$
اگزرزی جز آب تغذیه بویلر (kJ)	$ex_{in}$
اگزرزی جز بخار تولیدی بویلر (kJ)	$ex_{out}$
انرژی حرارتی آزاد شده توسط سوخت (kcal/hr)	$H_F$
اتلاف حرارت از بدن (kcal/hr)	$H_L$
انرژی حرارتی جذب شده توسط سیال (kcal/hr)	$H_P$
انرژی حرارتی خروجی از دودکش (kcal/hr)	$H_S$
دبی هوا (kg/s)	$\dot{m}_{Air}$
دبی سوخت (kg/s)	$\dot{m}_{Fuel}$

دبي بخار تولیدی (kg/s)	$\dot{m}_s$
تعداد مول سوخت	$N_{Fuel}$
تعداد مول گاز	$N_{gas}$
درصد مولی اجزای هوا	$N_t$
فشار (Pa)	$P$
فشار محیط (Pa)	$P_0$
فشار جزئی اجرا در حالت مرگ محدود (Pa)	$P_{i0}$
فشار جزئی اجرا در شرایط محیط (Pa)	$P_{i00}$
ثابت گاز (J/kgK)	$R$
دماي محیط در شرایط استاندارد (K)	$T_0$
دماي هوای محیط (K)	$T_a$
دماي سطح خارجي بویلر (K)	$T_s$
سرعت باد (m/s)	$V_w$

**نمادهای یونانی**

ضریب صدور تشعشعی سطح خارجی بویلر	$\varepsilon$
اگررژی هوا (kJ)	$\psi_{air}$
اگررژی شیمیایی (kJ)	$\psi_{ch}$
مجموع اگررژی (kJ)	$\psi_{Total}$
اگررژی ترمومکانیکال (kJ)	$\psi_{Th}$

## Abstract

In this paper, improving the performance of the boilers 4th refinery of south pars gas complex, using energy and exergy analysis is discussed. After modeling the factors affecting the performance boilers of the refinery such as variations in ambient temperature, relative humidity, percent excess air and preheat boiler feed water are investigated. According to the results of thermal efficiency and exergy efficiency of 4the boilers 4th refinery operating conditions (ambient temperature  $25^{\circ}\text{C}$  , relative humidity of 70 % air and excess air of 35 %), respectively 75.78 % and 39.64 % has been obtained, Also by setting the percentage of excess air in the combustion chamber of the boiler, exergy efficiency of the boiler can be increased to 41.46%.